圧縮型グランドアンカーの静的及繰返し引抜き実験

早稲田大学学生会員○矢野良尚早稲田大学フェロー清宮理早稲田大学正会員安同祥エスイー㈱正会員竹家宏治

にひずみゲージ a-1, a-2, a-3, a-4 を取り付けた. さらに PC ケーブルにも 1 カ所にひずみゲージを取り付けた. 取り付け位置に関して図-1 に示す.

1. はじめに アンカー工法は擁壁や斜面の安定, 構造物の浮き上がり防止, 地中壁の安定確保などに 利用され, 構造物の基礎補強に有効であり, 地震時 の挙動についても有効性が高いとされている. しか しながら現時点でその現象が十分把握されていない. そこで, アンカー定着耐力の機構を把握することを 目的として模型を用いた圧縮型グランドアンカーの 静的及繰返し引抜き試験を行った.

2. 実験概要 (1)模型内の地盤及びモルタル 実験は鋼板で作った直方体の53cm×53cm×47cmの土槽を使用する. 土槽内部中央に予め外径55mmのボイド管を設置し、その周りに模擬地盤としてソイルセメントを流し込む. 養生後にボイル管を取り除き、その中に圧縮型グランドアンカーを設置し、モルタルを流し込むことにより供試体を作成する. 模型内の地盤及びモルタルの配合について表-1に示す. また、地盤強度、載荷パターン、最大荷重及び最終破壊形式については表-2に示す.

表-1 地盤及びモルタルの配合

供試体		•	一体あたりの配 ()内は case2 以					
供試体内ソイルセメト			8 号珪砂	152.9(161.4)	kg			
高さ	47.00	cm	早強セメント	16.91(8.49)	kg			
幅	53.00	cm	水道水	67.92	kg			
セメント ミルク	w/c=50%		配合量(1 体当り)					
アンカー直径	5.5	cm	早強セメント	1362.61	g			
アンカー高さ	47.0	cm	水道水	681.30	g			
セメント添加率 10%(case2 以降は5%)								
8 号珪砂		1.29	g/cm ³					
早強セメント		3.13	g/cm ³					
水道水		1.00	g/cm ³					

(2)試験に用いるアンカー 試験には圧縮型グランドアンカーを用いた.アンカーの寸法は図-1 に示すように全長 640mm で PC ケーブルの径は 9.5mm である. PC ケーブルとアンカーは底部で固定されている.引張部には PC ケーブルを使用し,アンカー体の 4 カ所

表-2 試験ケースと試験結果の一覧

	載荷方法	地盤強度	最大荷重	破壞形式
		(kN/m^2)	(kN)	
Case1	単調載荷	1085.0	36.26	地盤の破壊
Case2	単調載荷	254.8	17.84	地盤の破壊
Case3	低サイク	256.5	17.82	地盤の破壊
	ル載荷			

(3)試験方法 250kN オートグラフを用いて単調載荷及び繰返し載荷試験をし圧縮型グランドアンカーの定着耐力の機構を把握する. Case1 と Case2 では単調載荷, Case3 では繰返し載荷を行う. アンカー体の定着耐力がなくなるまで引き抜き, その間に3秒に1回ずつ各地点でのひずみを測定する. 繰返しパターンは図-2 に示す.

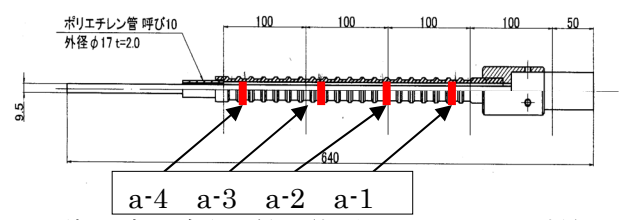


図-1 ひずみゲージ取り付け位置及アンカーの寸法

3. 結果及び考察 図-2より case1と case2を比較すると, case1の方が case2よりも最大荷重が大きかった. アンカーの定着耐力は地盤の強度高い方が大きかった. case2と case3では,最大荷重がほぼ等しかった. 繰り返し載荷は引張荷重が13kNで14回,14kNで10回,16kNで10回,17kNで16回実施したが破壊には至らなかった. 更に荷重を増加させ17.8kNに達したとき地盤が破壊した. case3は繰返し載荷なので,繰返しによりアンカー体周辺の地盤が次第に緩み, case2より最大荷重が小さくなると考えていたが今回の実験でそのような進行性の破壊は見られなかった. 図-4に示すよ

連絡先 〒169-8555 東京都新宿区大久保 3-4-1 早稲田大学理工学部社会環境工学科清宮研究室 キーワード 圧縮型グランドアンカー 地盤補強 繰返し載荷 うに繰り返し載荷によりひずみは少しづつ増加するが顕著な剛性(勾配)の低下は見られなかった.また履歴減衰も小さかった.図・3,図・4,図・5及び図・6より,圧縮型アンカーのアンカー体のひずみの値は,地盤中の深い場所に位置するほど大きくなった.モルタル周面摩擦応力と荷重の関係を示す図・7より,地盤底部から順に地盤とモルタルの付着切れが始まることがわかった.a-1, a-2 地点では圧縮の力が働いていることがわかるが,a-3, a-4 に関しては圧縮力あるいは引張力が働いているときがあった.これは,ケーブルに曲げが作用したためと考えられた.図-7にひずみ分布から求まる周面摩擦応力と荷重の関係を示すが,最大周辺摩擦応力は $0.4N/mm^2$ 程度あり,地盤強度より求まる付着応力($\tau=qu/2$)よりやや大きな値であった.

4. まとめ 本実験で得られたことを以下に示す. 今回の終局の破壊形式は地盤の付着破壊であり, グランドアンカーの定着耐力は地盤強度に依存した. 圧縮型のアンカー体は地盤中の深い場所に位置している地点ほどひずみの値が大きくなり, 地盤底部から付着切れが進行した. 単純載荷と繰返し載荷の違いによるグランドアンカーの定着耐力の違いを確認することはできなかった. 多数の繰返し載荷によって強度が低下することがみられなかった.

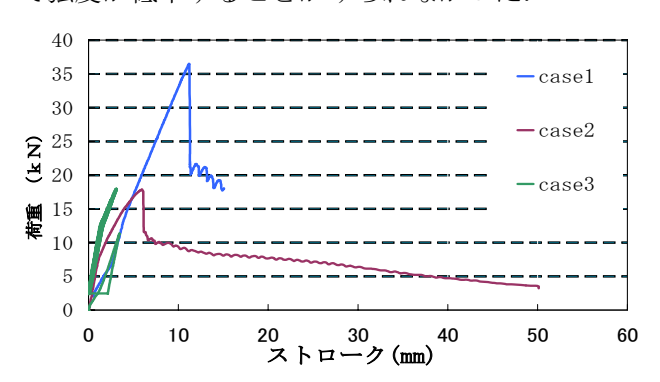


図-2 各 case での荷重とストロークの関係

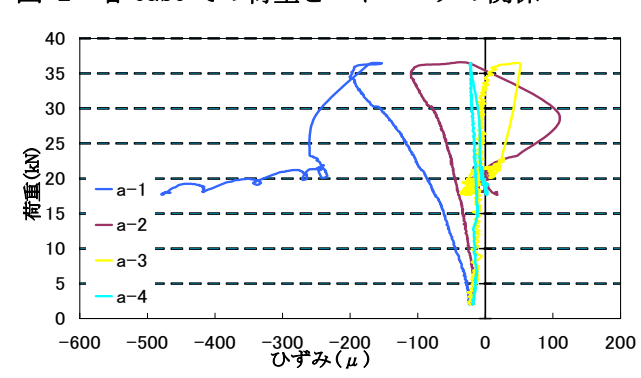


図-3 荷重と各地点でのひずみの関係 (case1)

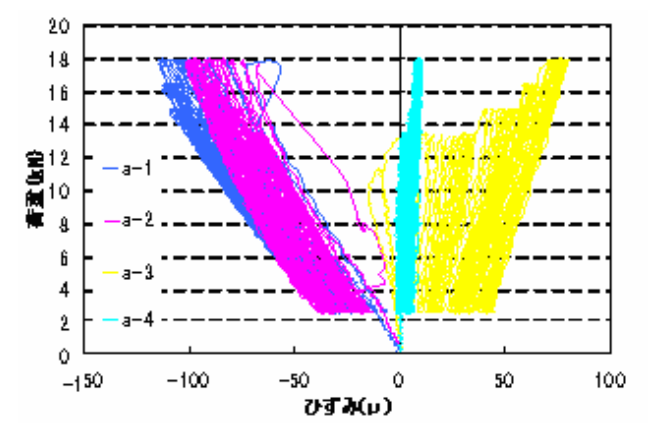


図-4 荷重と各地点でのひずみの関係(case3)

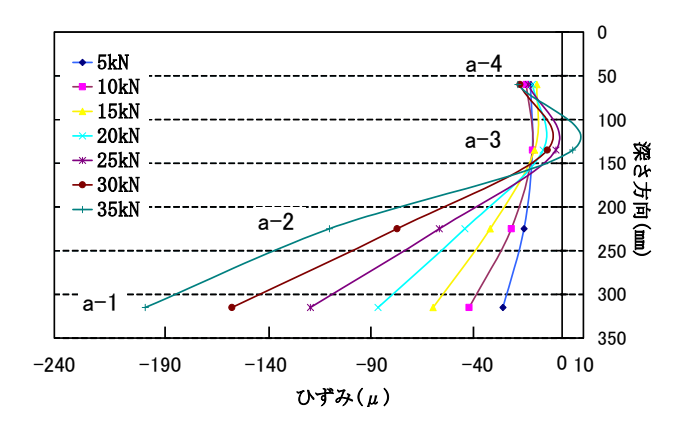


図-5 深さ方向でのひずみと荷重の関係(case1)

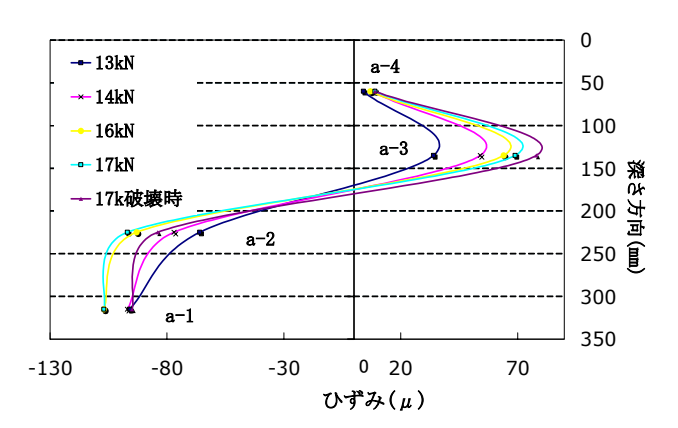


図-6 深さ方向でのひずみと荷重の関係(case3)

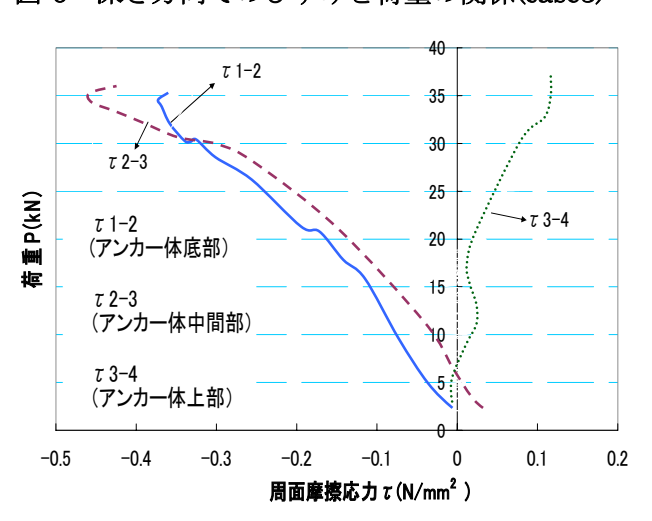


図-7 周面摩擦応力 τ と荷重 P の関係(case1)